

Starkniederschlagshöhen und -spenden gemäß KOSTRA-DWD-2020

Rasterfeld 145155

(Zeile 145, Spalte 155)

Regenspende und Bemessungsniederschlagswerte in Abhängigkeit von Wiederkehrzeit T und Dauerstufe D

| Dauerstufe D | | Wiederkehrzeit T | | | | | | | | | | | | | | | | | |
|--------------|-----|------------------|------------|------|------------|------|------------|------|------------|-------|------------|-------|------------|-------|------------|-------|------------|-------|------------|
| | | 1 a | | 2 a | | 3 a | | 5 a | | 10 a | | 20 a | | 30 a | | 50 a | | 100 a | |
| min | Std | mm | l / (s ha) | mm | l / (s ha) | mm | l / (s ha) | mm | l / (s ha) | mm | l / (s ha) | mm | l / (s ha) | mm | l / (s ha) | mm | l / (s ha) | mm | l / (s ha) |
| 5 | | 6,9 | 230,0 | 8,6 | 286,7 | 9,7 | 323,3 | 11,1 | 370,0 | 13,1 | 436,7 | 15,2 | 506,7 | 16,6 | 553,3 | 18,4 | 613,3 | 21,0 | 700,0 |
| 10 | | 9,2 | 153,3 | 11,5 | 191,7 | 12,9 | 215,0 | 14,8 | 246,7 | 17,5 | 291,7 | 20,3 | 338,3 | 22,1 | 368,3 | 24,5 | 408,3 | 27,9 | 465,0 |
| 15 | | 10,6 | 117,8 | 13,3 | 147,8 | 14,9 | 165,6 | 17,1 | 190,0 | 20,2 | 224,4 | 23,4 | 260,0 | 25,5 | 283,3 | 28,2 | 313,3 | 32,1 | 356,7 |
| 20 | | 11,6 | 96,7 | 14,5 | 120,8 | 16,3 | 135,8 | 18,7 | 155,8 | 22,1 | 184,2 | 25,6 | 213,3 | 27,9 | 232,5 | 30,9 | 257,5 | 35,2 | 293,3 |
| 30 | | 13,1 | 72,8 | 16,4 | 91,1 | 18,4 | 102,2 | 21,1 | 117,2 | 24,9 | 138,3 | 28,9 | 160,6 | 31,5 | 175,0 | 34,9 | 193,9 | 39,8 | 221,1 |
| 45 | | 14,7 | 54,4 | 18,4 | 68,1 | 20,6 | 76,3 | 23,6 | 87,4 | 27,9 | 103,3 | 32,4 | 120,0 | 35,3 | 130,7 | 39,1 | 144,8 | 44,6 | 165,2 |
| 60 | 1 | 15,9 | 44,2 | 19,8 | 55,0 | 22,3 | 61,9 | 25,5 | 70,8 | 30,2 | 83,9 | 35,0 | 97,2 | 38,1 | 105,8 | 42,2 | 117,2 | 48,1 | 133,6 |
| 90 | 1,5 | 17,6 | 32,6 | 22,0 | 40,7 | 24,8 | 45,9 | 28,4 | 52,6 | 33,5 | 62,0 | 38,9 | 72,0 | 42,3 | 78,3 | 46,9 | 86,9 | 53,5 | 99,1 |
| 120 | 2 | 19,0 | 26,4 | 23,7 | 32,9 | 26,6 | 36,9 | 30,5 | 42,4 | 36,1 | 50,1 | 41,8 | 58,1 | 45,5 | 63,2 | 50,5 | 70,1 | 57,5 | 79,9 |
| 180 | 3 | 21,0 | 19,4 | 26,2 | 24,3 | 29,5 | 27,3 | 33,7 | 31,2 | 39,9 | 36,9 | 46,2 | 42,8 | 50,4 | 46,7 | 55,8 | 51,7 | 63,6 | 58,9 |
| 240 | 4 | 22,5 | 15,6 | 28,2 | 19,6 | 31,6 | 21,9 | 36,2 | 25,1 | 42,8 | 29,7 | 49,6 | 34,4 | 54,1 | 37,6 | 59,9 | 41,6 | 68,3 | 47,4 |
| 360 | 6 | 24,9 | 11,5 | 31,1 | 14,4 | 34,9 | 16,2 | 40,0 | 18,5 | 47,3 | 21,9 | 54,8 | 25,4 | 59,7 | 27,6 | 66,1 | 30,6 | 75,4 | 34,9 |
| 540 | 9 | 27,4 | 8,5 | 34,3 | 10,6 | 38,5 | 11,9 | 44,1 | 13,6 | 52,1 | 16,1 | 60,4 | 18,6 | 65,9 | 20,3 | 73,0 | 22,5 | 83,2 | 25,7 |
| 720 | 12 | 29,4 | 6,8 | 36,7 | 8,5 | 41,3 | 9,6 | 47,3 | 10,9 | 55,9 | 12,9 | 64,8 | 15,0 | 70,6 | 16,3 | 78,2 | 18,1 | 89,1 | 20,6 |
| 1080 | 18 | 32,4 | 5,0 | 40,5 | 6,3 | 45,5 | 7,0 | 52,1 | 8,0 | 61,6 | 9,5 | 71,4 | 11,0 | 77,8 | 12,0 | 86,2 | 13,3 | 98,2 | 15,2 |
| 1440 | 24 | 34,7 | 4,0 | 43,4 | 5,0 | 48,8 | 5,6 | 55,8 | 6,5 | 66,0 | 7,6 | 76,5 | 8,9 | 83,4 | 9,7 | 92,4 | 10,7 | 105,2 | 12,2 |
| 2880 | 48 | 41,0 | 2,4 | 51,2 | 3,0 | 57,6 | 3,3 | 65,9 | 3,8 | 77,9 | 4,5 | 90,3 | 5,2 | 98,4 | 5,7 | 109,0 | 6,3 | 124,2 | 7,2 |
| 4320 | 72 | 45,1 | 1,7 | 56,4 | 2,2 | 63,4 | 2,4 | 72,6 | 2,8 | 85,8 | 3,3 | 99,5 | 3,8 | 108,4 | 4,2 | 120,1 | 4,6 | 136,9 | 5,3 |
| 5760 | 96 | 48,4 | 1,4 | 60,4 | 1,7 | 67,9 | 2,0 | 77,8 | 2,3 | 91,9 | 2,7 | 106,5 | 3,1 | 116,1 | 3,4 | 128,6 | 3,7 | 146,6 | 4,2 |
| 7200 | 120 | 51,0 | 1,2 | 63,7 | 1,5 | 71,6 | 1,7 | 82,0 | 1,9 | 97,0 | 2,2 | 112,4 | 2,6 | 122,4 | 2,8 | 135,7 | 3,1 | 154,6 | 3,6 |
| 8640 | 144 | 53,3 | 1,0 | 66,6 | 1,3 | 74,8 | 1,4 | 85,7 | 1,7 | 101,3 | 2,0 | 117,4 | 2,3 | 127,9 | 2,5 | 141,7 | 2,7 | 161,5 | 3,1 |
| 10080 | 168 | 55,3 | 0,9 | 69,1 | 1,1 | 77,6 | 1,3 | 88,9 | 1,5 | 105,1 | 1,7 | 121,8 | 2,0 | 132,7 | 2,2 | 147,0 | 2,4 | 167,5 | 2,8 |

Starkniederschlagshöhen und -spenden gemäß KOSTRA-DWD-2020

Rasterfeld 145155

(Zeile 145, Spalte 155)

Örtliche Unsicherheiten in Abhängigkeit von Wiederkehrzeit T und Dauerstufe D

| Dauerstufe D | | Wiederkehrzeit T | | | | | | | | |
|--------------|-----|------------------|-----|-----|-----|------|------|------|------|-------|
| | | 1 a | 2 a | 3 a | 5 a | 10 a | 20 a | 30 a | 50 a | 100 a |
| min | Std | ± % | ± % | ± % | ± % | ± % | ± % | ± % | ± % | ± % |
| 5 | | 12 | 12 | 12 | 13 | 13 | 14 | 14 | 14 | 15 |
| 10 | | 13 | 14 | 15 | 16 | 17 | 18 | 18 | 19 | 19 |
| 15 | | 15 | 17 | 18 | 18 | 20 | 20 | 21 | 21 | 22 |
| 20 | | 16 | 18 | 19 | 20 | 21 | 22 | 22 | 23 | 23 |
| 30 | | 17 | 19 | 20 | 21 | 23 | 23 | 24 | 24 | 25 |
| 45 | | 18 | 20 | 21 | 22 | 23 | 24 | 25 | 25 | 26 |
| 60 | 1 | 18 | 20 | 21 | 22 | 23 | 24 | 25 | 25 | 26 |
| 90 | 1,5 | 18 | 20 | 21 | 22 | 23 | 24 | 24 | 25 | 26 |
| 120 | 2 | 17 | 19 | 20 | 22 | 23 | 24 | 24 | 24 | 25 |
| 180 | 3 | 17 | 19 | 20 | 21 | 22 | 23 | 23 | 24 | 24 |
| 240 | 4 | 16 | 18 | 19 | 20 | 21 | 22 | 23 | 23 | 24 |
| 360 | 6 | 15 | 17 | 18 | 19 | 20 | 21 | 22 | 22 | 23 |
| 540 | 9 | 15 | 17 | 18 | 18 | 20 | 20 | 21 | 21 | 22 |
| 720 | 12 | 15 | 16 | 17 | 18 | 19 | 20 | 20 | 21 | 21 |
| 1080 | 18 | 14 | 16 | 17 | 17 | 18 | 19 | 20 | 20 | 20 |
| 1440 | 24 | 14 | 16 | 16 | 17 | 18 | 19 | 19 | 20 | 20 |
| 2880 | 48 | 15 | 16 | 16 | 17 | 18 | 18 | 19 | 19 | 19 |
| 4320 | 72 | 16 | 17 | 17 | 17 | 18 | 18 | 19 | 19 | 19 |
| 5760 | 96 | 17 | 17 | 17 | 18 | 18 | 19 | 19 | 19 | 20 |
| 7200 | 120 | 18 | 18 | 18 | 18 | 19 | 19 | 19 | 19 | 20 |
| 8640 | 144 | 18 | 18 | 18 | 19 | 19 | 19 | 19 | 20 | 20 |
| 10080 | 168 | 19 | 19 | 19 | 19 | 19 | 20 | 20 | 20 | 20 |

Parameter für abweichende T und D

Lokationsparameter ξ (Xi)

16,30460053

Skalenparameter α (Alpha)

5,6645921

Formparameter κ (Kappa)

-0,1

1. Koutsoyiannis-Parameter θ (Theta)

0,03470614

2. Koutsoyiannis-Parameter η (Eta)

0,76160218

Parameter für dauerstufenübergreifende Extremwertschätzung nach KOUTSOYIANNIS et al. 1998.

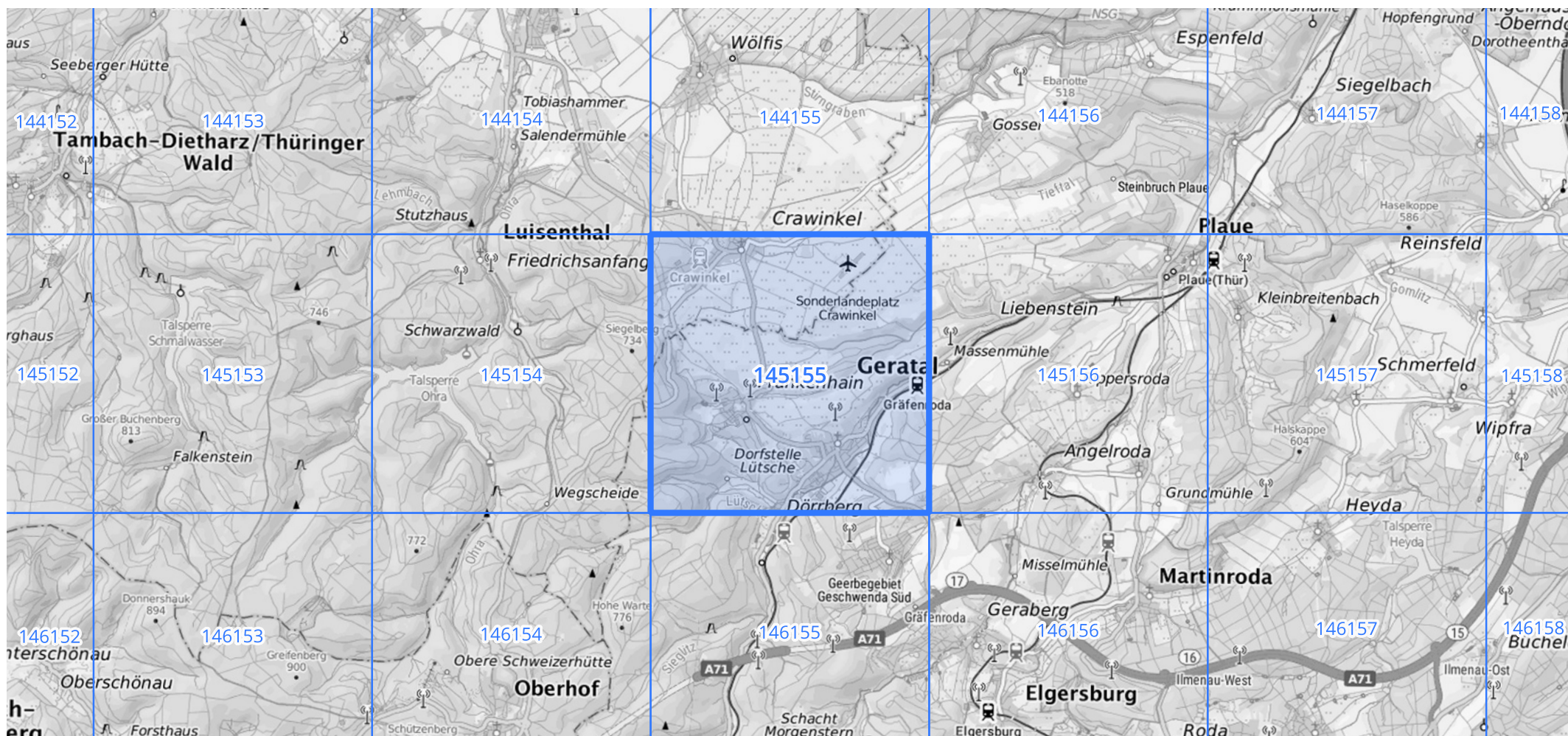
Siehe auch Anwendungshilfe zu KOSTRA-DWD-2020 des Deutschen Wetterdienstes.

Starkniederschlagshöhen und -spenden gemäß KOSTRA-DWD-2020

Rasterfeld 145155

(Zeile 145, Spalte 155)

Übersichtskarte des Rasterfeldes 145155, M 1 : 100 000



Quelle Rasterdaten: KOSTRA-DWD-2020 des Deutschen Wetterdienstes, Stand 12/2022.

Seite 3 von 3

Kartendarstellung: © Bundesamt für Kartographie und Geodäsie (2023), Datenquellen: https://sgx.geodatenzentrum.de/web_public/gdz/datenquellen/Datenquellen_TopPlusOpen.html

Für die Richtigkeit und Aktualität der Angaben wird keine Gewähr übernommen. Erstellt 01/2023.